

**EKSTRAKSI DAN KARAKTERISASI HIDROKSIAPATIT DARI
LIMBAH KERAJINAN TULANG SAPI MENGGUNAKAN METODE
KOMBINASI ALKALI HIDROTERMAL DENGAN DEKOMPOSISSI TERMAL**

I Gede Andy Andika Parahita*, I Nengah Simpen, dan Ni Gusti Ayu Made Dwi Adhi Suastuti

Jurusan Kimia FMIPA Universitas Udayana, Bukit Jimbaran, Bali

**E-mail : andika.parahita@gmail.com*

ABSTRAK

Penelitian ini bertujuan untuk mengekstraksi hidroksiapatit dari limbah kerajinan tulang dan mengkarakterisasinya. Metode yang digunakan adalah metode kombinasi alkali hidrotermal dengan dekomposisi termal, yang dilakukan dengan cara menginteraksikan serbuk tulang dengan NaOH 5% dan dikalsinasi pada suhu 400, 750, 950 dan 1100°C (TB₁, TB₂, TB₃ dan TB₄). Nilai *yield* hidroksiapatit rata-rata yang dihasilkan adalah 68,82%. Karakterisasi kebasaan permukaan tertinggi dimiliki TB₁ adalah $2,8345 \pm 1,5166 \times 10^{-2}$ mmol/gram. Karakterisasi FTIR menghasilkan gugus fungsi yang sesuai dengan senyawa hidroksiapatit. Luas permukaan tertinggi dimiliki TB₁ adalah 34,4811 m²/gram. Perbandingan Ca/P rata-rata yang didapatkan adalah 1,6838. Karakterisasi XRD menunjukkan penambahan suhu mengakibatkan puncak difraksi yang dihasilkan semakin tajam yang menunjukkan struktur kristal yang dihasilkan semakin tajam.

Kata kunci : hidroksiapatit, ekstraksi, karakterisasi, alkali hidrotermal, dekomposisi termal

ABSTRACT

The aims of this research were to extract and characterize hydroxyapatite from cow bone that got from biowaste. The combination of alkaline hydrothermal with thermal decomposition method was used in this research. The raw cow bone was interacted with 5% NaOH and then calcinated at 400, 750, 950 and 1100°C (TB₁, TB₂, TB₃ dan TB₄). The *yield* average of the hydroxyapatite was 68,82%. Surface basisity characterization showed that the highest surface base was $2,8345 \pm 1,5166 \times 10^{-2}$ mmol/gram in TB₁. Characterization of FTIR result showed the fuctional groups indicate hydroxyapatite molecule. The highest surface area was 34,4811 m²/gram in TB₁. Average Ca/P ratio was 1,6838. XRD characterization result suggested that increasing temperature in calssination caused the diffraction peak sharper.

Keywords : hydroxyapatite, extraction, characterization, alkaly hydrothermal, thermal decomposition

PENDAHULUAN

Tulang merupakan jaringan hidup yang terdiri atas 20-30% fase organik, 60-70% fase anorganik dan sekitar 5% air. Tulang mengandung bahan organik berupa kolagen dan terdapat senyawa lain dalam konsentrasi kecil seperti lipid dan protein non-kolagen, dan bahan anorganik berupa hidroksiapatit (HAp) dengan rumus kimia Ca₁₀(PO₄)₆(OH)₂ sebagai komponen utama serta

kandungan ion lain seperti magnesium, flourida dan natrium (Samuel *et al.*, 1985).

Hidroksiapatit (HAp) adalah sebuah molekul kristalin yang intinya tersusun dari fosfor dan kalsium dengan rumus molekul Ca₁₀(PO₄)₆(OH)₂ yang termasuk di dalam keluarga senyawa kalsium fosfat. Hidroksiapatit yang berasal dari tulang sapi telah secara luas dipergunakan untuk mencangkok, memperbaiki, mengisi atau mengganti tulang, dan dalam pemeliharaan jaringan gigi karena sifat biokompatibel

Ekstraksi dan Karakterisasi Hidroksiapit dari Limbah Kerajinan Tulang Sapi Menggunakan Metode Kombinasi Alkali Hidrotermal dengan Dekomposisi Termal
(I Gede Andy Andika Parahita, I Nengah Simpen, dan Ni Gusti Ayu Made Dwi Adhi Suastuti)

yang sangat baik dengan jaringan keras, bioaktivitas dalam membangun kembali jaringan tulang yang telah rusak dan juga di dalam jaringan lunak (Kusrini and Sontang, 2012). Selain itu, hidroksiapit juga telah banyak diaplikasikan sebagai katalis, pendukung katalis dan adsorben, karena struktur penyusunnya yang berpori, inert, awet dan dapat berfungsi sebagai penukar kation (Wahl dan Czernuszka, 2006). Hidroksiapit dapat dibuat dengan cara sintesis menggunakan beberapa metode diantaranya iradiasi ultrasonik (Liu *et al.*, 2004), emulsi membran cair (Jarudilokkul *et al.*, 2007), radiasi metatesis gelombang mikro (Parhia *et al.*, 2004), iradiasi cepat gelombang mikro (Sarig dan Kahana, 2002), RF plasma termal (Xu *et al.*, 2004), presipitasi kimia (Pang dan Bao, 2003), mikroemulsi (Guo *et al.*, 2005) dan hidrolisis (Shih *et al.*, 2004). Namun, proses sintesis ini relatif rumit dan tidak aman secara biologis. Hidroksiapit alami berasal dari limbah tulang sapi menggunakan beberapa metode telah dipelajari sebelumnya melalui beberapa penelitian, diantaranya teknik kalsinasi (Sobczak *et al.*, 2009), waktu sintering dan temperatur (Kusrini dan Sontang, 2011) serta proses subkritis air, hidrolisis alkali hidrotermal dan dekomposisi termal (Barakat *et al.*, 2009).

Berdasarkan metode sintesis dan ekstraksi hidroksiapit yang sudah dipelajari sebelumnya menimbulkan upaya untuk mencari metode alternatif lain yang lebih ekonomis, ramah lingkungan, aman dari sisi biologi dan menyederhanakan rumitnya produksi hidroksiapit dengan cara sintesis yaitu ekstraksi hidroksiapit dari limbah kerajinan tulang menggunakan metode kombinasi alkali hidrotermal dengan dekomposisi termal dan karakterisasinya. Karakterisasi hidroksiapit menggunakan metode titrasi asam basa, metode adsorpsi metilen biru, FTIR (*Fourier Transform Infra Red*), LIBS (*Laser Induced Breakdown Spectroscopy*) dan XRD (*X-ray Diffraction*). Titrasi asam basa digunakan untuk menentukan kebasaan permukaan secara kuantitatif, sedangkan secara kualitatif dilakukan dengan menggunakan FTIR. Metode metilen biru digunakan untuk mengetahui luas permukaan spesifik senyawa hidroksiapit hasil ekstraksi. LIBS digunakan untuk mengetahui seberapa besar rasio kelimpahan atom Ca dan P senyawa hasil ekstraksi dan XRD digunakan untuk

mengidentifikasi jenis senyawa serta derajat kristalinitas senyawa hasil ekstraksi.

MATERI DAN METODE

Bahan

Bahan yang digunakan dalam penelitian ini adalah limbah serbuk kerajinan tulang sapi yang berasal dari penggerajin ukiran tulang sapi di Banjar Tegal Suci, Desa Tampaksiring, Gianyar. Bahan-bahan kimia yang digunakan dalam penelitian ini meliputi aseton, phenolphthalein (pp), NaOH, HCl, asam oksalat, metilen biru dan akuades.

Peralatan

Alat-alat yang digunakan adalah pipet volume, gelas ukur, gelas beker, erlenmeyer, labu ukur, mortar, ayakan 400 μm , oven (*furnace*), desikator, pengaduk magnetik, cawan porselein, bola hisap, timbangan analitik dan pencatat waktu. Peralatan instrumentasi meliputi spektrofotometer UV-Vis, spektrofotometer infra merah (FTIR), LIBS dan difraksi sinar-X (XRD).

Cara Kerja

Preparasi Serbuk Tulang

Serbuk limbah tulang sapi dicuci menggunakan aseton dan akuades untuk menghilangkan kandungan lemak serta kotoran seperti tanah dan pasir yang tercampur pada serbuk tulang. Serbuk tulang dikeringkan pada suhu 160°C selama 12 jam dengan menggunakan oven (Barakat *et al.*, 2009). Serbuk tulang yang sudah kering diayak dengan menggunakan ayakan 400 μm , selanjutnya serbuk tulang diletakkan dalam wadah botol kaca dan diberi kode T_0 serta disimpan dalam desikator.

Ekstraksi Hidroksiapit Menggunakan Metode Kombinasi Alkali Hidrotermal dengan Dekomposisi Termal

Sebanyak 500 gram serbuk tulang T_0 dicampur NaOH 5% sebanyak 750 mL. Campuran kemudian direfluks selama 3 jam pada suhu 70°C. Selanjutnya, masing – masing sebanyak 100 gram sampel serbuk tulang hasil alkali hidrotermal didekomposisi termal dengan variasi suhu 400°C, 750°C, 900°C dan 1100°C selama 6 jam. Masing-masing serbuk tulang hasil dekomposisi termal diberi kode TB_1 , TB_2 , TB_3 dan TB_4 . Hasil dekomposisi termal selanjutnya dikarakterisasi

(Barakat *et al.*, 2009; Wahl and Czernuszka, 2006).

Karakterisasi Kebasaan Permukaan Hidroksiapitit

Kebasaan permukaan hidroksiapitit dilakukan menggunakan sampel serbuk tulang hasil eks-traksi menggunakan kombinasi alkali hidrotermal dengan dekomposisi termal (TB_1 , TB_2 , TB_3 dan TB_4). Sebanyak 1,0 gram sampel serbuk tulang dari masing-masing perlakuan dimasukkan ke dalam masing-masing erlenmeyer 250 mL dan ditambahkan 10,0 mL larutan HCl 0,3 M sambil diaduk menggunakan pengaduk magnetik selama 15 menit. Campuran ditambahkan 3-4 tetes phenolphthalein (pp). Campuran dititrasi dengan larutan NaOH 0,3 M hingga terjadi perubahan warna dari awalnya tidak berwarna menjadi berwarna merah muda. Untuk menghitung kebasaan permukaan hidroksiapitit digunakan persamaan sebagai berikut :

$$K_{HAp} = \frac{mmol\ HCl_{awal} - mmol\ HCl_{bebas}}{berat\ sampel}$$

(Kumar *et al.*, 1995).

Karakterisasi Gugus Fungsi Hidroksiapit Menggunakan FTIR

Sebanyak 0,3 gram masing-masing sampel hidroksiapitit kombinasi alkali hidrotermal dengan dekomposisi termal (TB_1 , TB_2 , TB_3 dan TB_4), ditambahkan serbuk KBr kemudian diidentifikasi menggunakan FTIR Shimadzu IR Prestige-21 dengan rentang bilangan gelombang 4000-400 cm^{-1} . Hasil analisis yang didapatkan berupa spektra dan data puncak karakteristik serta intensitas dari spektra yang diperoleh (Shaltout *et al.*, 2011).

Karakterisasi Luas Permukaan Hidroksiapit Menggunakan Metode Metilen Biru

Sampel hidroksiapitit kombinasi alkali hidrotermal dengan dekomposisi termal (TB_1 , TB_2 , TB_3 dan TB_4) masing-masing sebanyak 0,1 gram dimasukkan ke dalam Erlenmeyer yang berisi larutan metilen biru 50 ppm sebanyak 20,0 mL, diaduk menggunakan *magnetic stirrer* dengan variasi waktu 5, 10, 15, 20, 30, 40, 50, dan 60 menit untuk mengetahui waktu kontak maksimum metilen biru dengan sampel. Larutan hasil pengadukan disaring menggunakan kertas saring, dan nilai absorbansinya diukur dengan spektrofotometer *UV-Vis* pada 664,1 nm untuk

mendapatkan berat penyerapan maksimum (mg/g). Luas permukaan ditentukan menggunakan persamaan sebagai berikut:

$$S = \frac{Xm \cdot N \cdot a}{Mr}$$

Dimana :

s = luas permukaan hidroksiapitit (m^2/g)

N = bilangan avogadro ($6,022 \times 10^{23} \text{ mol}^{-1}$)

Xm = berat metilen biru yang terserap (mg/g)

a = luas penutupan 1 molekul metilen biru ($197 \times 10^{-20} \text{ m}^2$)

Mr = berat molekul metilen biru (320,5 g/mol)

(Lowell and Shields, 1984).

Karakterisasi Kelimpahan Atom Ca/P Hidroksiapit Menggunakan LIBS

Sampel hidroksiapitit kombinasi alkali hidrotermal dengan dekomposisi termal (TB_1 , TB_2 , TB_3 dan TB_4) dianalisis menggunakan instrumen LIBS (*Laser Induced Breakdown Spectroscopy*) Ocean Optics untuk mengetahui perbandingan kelimpahan unsur Ca/P dalam sampel hidroksiapitit (Kasem *et al.*, 2013).

Karakterisasi Kristalinitas Hidroksiapit Menggunakan XRD

Sampel hidroksiapitit kombinasi alkali hidrotermal dengan dekomposisi termal (TB_1 , TB_2 , TB_3 dan TB_4) dianalisis menggunakan XRD Shimadzu ZD 610 diffraktometer dengan $\text{CuK}\alpha$ sebagai sumber radiasinya. Komposisi fase kristalin diidentifikasi dan dicocokkan berdasarkan referensi yang terdapat pada standar data JCPDS. (JCPDS, 1996).

HASIL DAN PEMBAHASAN

Tahap preparasi dilakukan dengan merendam sampel serbuk tulang menggunakan aseton untuk menghilangkan zat organik seperti lemak dan protein kemudian dibilas dengan akuades untuk menghilangkan debu dan kotoran yang masih tercampur pada serbuk tulang. Serbuk tulang kemudian dikeringkan pada oven 160°C selama 12 jam untuk menghilangkan molekul air yang masih terperangkap pada serbuk tulang. Selanjutnya 500 gram serbuk tulang direfluks menggunakan NaOH 5% sebanyak 750 mL pada suhu 70°C selama 6 jam dan dikeringkan pada suhu 250°C. Serbuk tulang yang dihasilkan

berwarna putih keabuan. Serbuk tulang kemudian dikalsinasi menggunakan variasi suhu 400, 750, 950 dan 1100°C selama masing-masing 6 jam (TB₁, TB₂, TB₃ dan TB₄). Variasi suhu digunakan untuk mengetahui perbedaan karakter fisik hidroksiapit yang dihasilkan. Perbedaan warna hidroksiapit dapat dilihat dari sampel hidroksiapit TB₁ yang menghasilkan sampel berwarna putih keabuan dan pada sampel TB₂ hingga TB₄ menghasilkan warna sampel berwarna putih. Perubahan warna menunjukkan adanya proses dekomposisi unsur pengisi tulang yaitu zat organik diantaranya lemak dan protein pada saat kalsinasi. (Kusrini and Sontang, 2012).

Nilai Yield Hidroksiapit

Nilai *yield* hidroksiapit merupakan persentase berat hidroksiapit yang dihasilkan setelah melalui proses kalsinasi yang dibandingkan dengan berat serbuk tulang sebelum kalsinasi. Nilai *yield* yang dihasilkan ditampilkan pada Tabel 1.

Tabel 1. Nilai *Yield* Hidroksiapit Menggunakan Metode Kombinasi Alkali Hidrotermal Dengan Dekomposisi Termal

Sampel	Yield (%)
TB ₁	71,71
TB ₂	68,21
TB ₃	68,03
TB ₄	67,34

Berdasarkan Tabel 1, nilai *yield* hidroksiapit rata-rata yang dihasilkan sebesar 68,82% atau terjadi penurunan massa sebesar 31,18%, sesuai dengan penelitian Ooi *et al* (2007) yang menunjukkan penurunan massa sampel hingga 33% yang disebabkan hilangnya molekul air dan zat organik dalam sampel serbuk tulang. Nilai *yield* pada Tabel 1 juga menunjukkan bahwa persentase berat hidroksiapit menurun seiring dengan kenaikan suhu kalsinasi. Hal ini menunjukkan bahwa terjadi perubahan komposisi penyusun hidroksiapit yang disebabkan karena pada suhu tinggi zat organik yang terurai semipurna, sehingga hidroksiapit yang dihasilkan menjadi lebih murni (Pang dan Bao, 2003).

Karakterisasi Hidroksiapit

Kebasaan Permukaan Hidroksiapit

Karakterisasi kebasaan permukaan hidroksiapit dilakukan untuk mengetahui jumlah situs basa yang terdapat pada sampel hidroksiapit. Jumlah situs basa yang terdapat pada sampel hidroksiapit dianalisis menggunakan metode titrasi asam basa. Nilai kebasaan permukaan dan jumlah situs aktif hidroksiapit ditampilkan pada Tabel 2.

Tabel 2. Nilai Kebasaan Permukaan dan Jumlah Situs Aktif Hidroksiapit

Sampel	Kebasaan permukaan (mmol/gram)	Jumlah situs aktif (situs/gram)
TB ₁	2,8345±1,5166x10 ⁻²	17,0694 x 10 ²⁰
TB ₂	2,2750±1,4832x10 ⁻²	13,7001 x 10 ²⁰
TB ₃	2,1535±1,5166x10 ⁻²	12,9684 x 10 ²⁰
TB ₄	2,1030±1,4491x10 ⁻²	12,6643 x 10 ²⁰

NaOH yang digunakan dalam hal ini melarutkan senyawa organik seperti sisa lemak dan protein yang masih terikat dalam tulang, sehingga situs basa yang terbentuk menjadi bertambah, dimana lemak dan protein dengan kandungan awal yang cukup tinggi pada tulang dapat diminimalisir dan situs basa yang tertutupi menjadi terbuka. Namun nilai kebasaan permukaan hidroksiapit menurun seiring dengan kenaikan suhu kalsinasi. Adanya penurunan kebasaan permukaan hidroksiapit ini disebabkan oleh penutupan situs aktif karena terjadi perubahan struktur hidroksiapit seiring dengan kenaikan suhu. Hal ini menunjukkan bahwa kristalinitas hidroksiapit semakin kompak pada suhu tinggi sehingga pori yang awalnya berbentuk makropori menjadi mikropori dan nanopori yang mengakibatkan menurunnya situs basa yang didapatkan. (Han *et al.*, 2007).

Gugus Fungsi Hidroksiapit

Gugus fungsi hidroksiapit diidentifikasi menggunakan FTIR dan menghasilkan data berupa spektra FTIR yang ditampilkan pada Gambar 1.

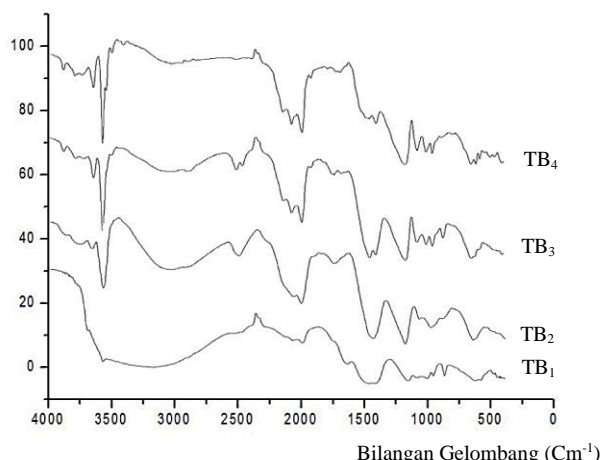
Berdasarkan Gambar 1 mengenai spektra FTIR hidroksiapit kombinasi alkali hidrotermal dengan dekomposisi termal pada penelitian dan bilangan gelombang yang terdeteksi dirangkum pada Tabel 3.

Tabel 3 menunjukkan gugus fungsi yang muncul pada spektra FTIR yang ditunjukkan oleh

Tabel 3. Bilangan Gelombang Spektra FTIR Hidroksiapit Kombinasi Alkali Hidrotermal dengan Dekomposisi Termal

Dugaan gugus fungsi (Ooi <i>et al.</i> 2007; Laghzizil <i>et al.</i> 2001)	Bilangan Gelombang (cm^{-1})			
	TB ₁	TB ₂	TB ₃	TB ₄
O-H	636,51; 3570,24	651,94; 3572,17; 3643,53	650,01; 3568,31; 3655,11	655,8; 3495,01; 3570,24; 3643,53
Ca-O	1419,61; 1469,76	1409,96; 1458,18	1438,9	1408,04
PO ₄ ³⁻	624,94; 960,55; 1010,7	960,55; 1008,77	960,55; 1074,35	960,55; 1012,63; 1082,07
CO ₃ ²⁻	873,75	896,90	-	-

Gugus fungsi yang muncul merupakan gugus fungsi O-H, Ca-O, dan PO₄³⁻ yang sesuai dengan struktur hidroksiapit. Puncak dari gugus-gugus yang terbentuk semakin tajam berbanding lurus dengan kenaikan suhu kalsinasi, yang menunjukkan bahwa peningkatan suhu kalsinasi mengakibatkan penyempitan lebar puncak, intensitas meningkat sehingga gugus – gugus fungsi senyawa hidroksiapit yang terkandung dalam sampel semakin jelas diidentifikasi sesuai dengan penelitian yang dilakukan oleh Ooi *et al.* (2007) dan Laghzizil *et al.* (2001).



Gambar 1. Spektra FTIR Hidroksiapit Kombinasi Alkali Hidrotermal dengan Dekomposisi Termal

Gambar 1.

Selain itu, muncul pula gugus CO₃²⁻ yang hanya ditemui pada sampel TA₁ dan TA₂. Hal ini disebabkan peningkatan suhu mengakibatkan unsur CO₃²⁻ dalam sampel semakin berkurang hingga akhirnya menghilang pada sampel TA₃ yang dikalsinasi pada suhu 950°C karena penggunaan suhu lebih dari 800°C terjadi reaksi dekarboksilasi pada struktur hidroksiapit (Shaltout *et al.*, 2011).

Luas Permukaan Hidroksiapit

Luas permukaan hidroksiapit diidentifikasi dengan metode adsorpsi metilen biru. Panjang gelombang yang digunakan untuk analisis filtrat metilen biru adalah 664,1 nm sesuai dengan panjang gelombang maksimum larutan metilen biru. Luas permukaan hidroksiapit ditampilkan pada Tabel 4.

Tabel 4. Luas Permukaan Serbuk Tulang, Dekomposisi Termal dan Modifikasi Alkali Hidrotermal dengan Dekomposisi Termal

Sampel	S (m^2/g)
TB ₁	34,4811
TB ₂	32,8413
TB ₃	30,5238
TB ₄	29,9323

Ekstraksi dan Karakterisasi Hidroksiapatit dari Limbah Kerajinan Tulang Sapi Menggunakan Metode Kombinasi Alkali Hidrotermal dengan Dekomposisi Termal
(I Gede Andy Andika Parahita, I Nengah Simpen, dan Ni Gusti Ayu Made Dwi Adhi Suastuti)

Luas permukaan tertinggi dimiliki sampel TB₁ yaitu sebesar 34,4811 m²/g dan luas permukaan menurun seiring dengan bertambahnya suhu kalsinasi. Hal ini dapat disebabkan karena pada saat proses alkali hidrotermal, NaOH yang digunakan dapat melarutkan pengotor sehingga mulut pori menjadi lebih terbuka. Selain itu, OH⁻ yang terikat pada situs dapat mengikat metilen biru lebih banyak, namun dengan bertambahnya suhu, situs yang terbentuk terlepas kembali sehingga mengurangi luas permukaan hidroksiapatit (Shaltout *et al.*, 2011).

Perbandingan Unsur Ca/P Hidroksiapatit

Perbandingan unsur Ca/P diidentifikasi menggunakan LIBS (*Laser Induced Breakdown Spectroscopy*) yang menghasilkan data berupa intensitas unsur yang dinyatakan dalam satuan *atomic unit* (a.u.). Perbandingan unsur Ca/P ditampilkan pada Tabel 5.

Tabel 5. Data Perbandingan Ca/P Hidroksiapatit

Sampel	Perbandingan Ca/P
TB ₁	1,6828
TB ₂	1,6849
TB ₃	1,6798
TB ₄	1,6877

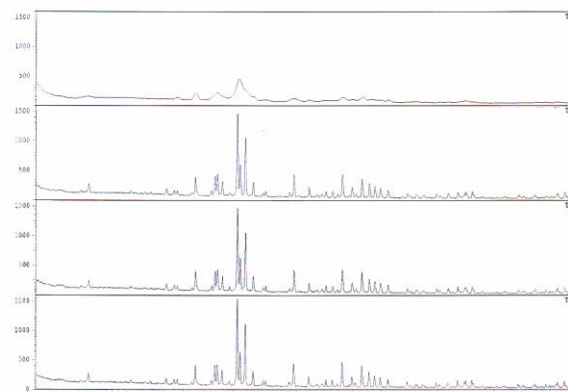
Berdasarkan Tabel 5 dapat diketahui bahwa perbandingan unsur Ca/P hidroksiapatit rata-rata adalah sebesar 1,68. Hal ini mendekati nilai perbandingan unsur Ca/P pada penelitian yang dilakukan oleh Ooi *et al* (2007) yang menunjukkan bahwa hidroksiapatit yang diperoleh mendekati murni. Hidroksiapatit yang mendekati murni diduga didapatkan karena pada saat pencucian menggunakan basa panas pada proses alkali hidrotermal menghilangkan zat organik seperti protein dan lemak (Samuel *et al.*, 1985)

Kristalinitas Hidroksiapatit

Kristalinitas hidroksiapatit diidentifikasi menggunakan XRD dengan cara membandingkan nilai puncak-puncak difraktogram yang diperoleh dengan nilai puncak-puncak difraktogram pada *database JCPDS* no 9-432 (XRD JCPDS file no.9-432, 1996). Puncak-puncak difraktogram hidroksiapatit yang dihasilkan ditampilkan pada Gambar 2.

Pola difraktogram pada Gambar 2 menunjukkan bahwa hidroksiapatit kombinasi alkali

hidrotermal dengan dekomposisi termal menunjukkan puncak menyempit (tajam) seiring dengan kenaikan suhu pemanasan. Hal ini terjadi karena kristalinitas yang terbentuk semakin baik dan kompak. Puncak tertinggi pada masing-masing sampel kombinasi alkali hidrotermal dengan dekomposisi termal adalah pada sampel TB₁ dengan intensitas 100 memiliki sudut 20 31,927 serta *d-spacing* 0,280 nm. Sampel TB₂ dengan intensitas 100 memiliki sudut 20 31,571 serta *d-spacing* 0,283 nm. Sampel TB₃ dengan intensitas 100 memiliki sudut 20 31,582 serta *d-spacing* 0,283 nm. Sampel TB₄ dengan intensitas 100 memiliki sudut 20 31,559 serta *d-spacing* 0,283 nm. Puncak tersebut mendekati *database JCPDS* no 9-432 dimana puncak tertinggi hidroksiapatit murni dengan intensitas 100 memiliki sudut 20 31,77 dan *d-spacing* 0,281 nm.



Gambar 2. Pola Difraktogram Hidroksiapatit Kombinasi Alkali Hidrotermal dengan Dekomposisi Termal

Data difraktogram yang dihasilkan menunjukkan bahwa semakin tinggi suhu yang digunakan untuk pemanasan semakin tajam pula puncak-puncak difraksi yang terbentuk sesuai dengan penelitian yang dilakukan oleh Ooi *et al* (2007), dimana kenaikan suhu mengakibatkan kenaikan intensitas puncak dan berkurangnya lebar puncak yang menunjukkan semakin tinggi kristalinitas dari hidroksiapatit yang dihasilkan. Kalsinasi hidroksiapatit pada rentang suhu 750-1100°C memiliki kristalinitas yang serupa, walaupun kenaikan suhu menaikkan intensitas puncak dan menurunkan lebar puncak difraksi (Koutsopoulos, 2002). Adanya kalsinasi pada proses ekstraksi mengakibatkan adanya karbon dioksida dari

karbonat dalam hidroksiapatit dari tulang sapi yang terbebas sehingga hidroksiapatit yang dihasilkan menjadi lebih murni. Kalsinasi juga menyebabkan adanya penyusutan serta pemanasan sampel yang diakibatkan adanya perubahan komposisi unsur pengisi (zat organik) pada saat proses pemanasan yang menghasilkan tajamnya puncak difraksi (Venkateswarlu *et al.*, 2010).

SIMPULAN DAN SARAN

Simpulan

Metode kombinasi alkali hidrotermal dengan dekomposisi termal yang digunakan untuk mengekstraksi hidroksiapatit menghasilkan hidroksiapatit yang baik dan sesuai dengan standar hidroksiapatit yang ditunjukkan oleh persentase *yield* hidroksiapatit rata-rata yang dihasilkan adalah 68,82% dan karakterisasi kebasaan permukaan terendah dimiliki sampel TB₄ dan kebasaan permukaan tertinggi dimiliki sampel TB₁. FTIR menghasilkan gugus fungsi yang sesuai dengan molekul hidroksiapatit. Luas permukaan terendah dimiliki oleh sampel TB₄ dan tertinggi dimiliki oleh sampel TB₁. Kelimpahan atom Ca/P rata-rata yang diperoleh adalah 1,6838. Karakterisasi dengan XRD menghasilkan semakin tinggi suhu yang digunakan untuk pemanasan semakin sempit pula puncak-puncak difraksi yang terbentuk.

Saran

Mengingat pentingnya karakteristik porositas spesifik pada material padatan, maka perlu dilakukan penelitian lebih lanjut mengenai pengukuran luas permukaan dan porositas hidroksiapatit menggunakan metode BET gasorpsi N₂.

UCAPAN TERIMA KASIH

Penulis sampaikan ucapan terima kasih kepada Ida Ayu Gede Widihati, Putu Suarya dan Ni Komang Ariati. Penulis juga menyampaikan ucapan terima kasih kepada tim Laboratorium Penelitian Jurusan Kimia FMIPA Universitas Udayana, Laboratorium Bersama FMIPA Universitas Udayana dan Laboratorium Kimia

FMIPA Universitas Gadjah Mada yang telah memberikan bantuan dan dukungan fasilitas hingga penelitian ini selesai.

DAFTAR PUSTAKA

- Barakat, N.A.M., Khil, M.S., Omran, A.M., Sheikhh, F.A., and Kim, H.Y., 2009, Extraction of Pure Natural Hydroxyapatite from the Bovine Bones Bio Waste by Three Different Methods, *Journal of Material Processing Technology*, 209 : 3408-3415
- Guo, G., Sun, Y., Wang, Z., and Guo, H., 2005, Preparation of Hydroxyapatite Nanoparticles by Reserve Microemulsion, *Journal of Ceramic, Int.*, 31 : 869-872
- Han, Y., Li, S., Wang, X., Jia, L., and He, J., 2007, Preparation of Hydroxyapatite Rod-Like Crystals by Protein Precursor Method. *Journal of Mater. Res. Bull.* 42 : 1169-1177
- Jarudilokkul, S., Tanthapanichakoon, W., and Boonamnuayvittaya, V., 2007, Synthesis of Hydroxyapatite Nanoparticles Using An Emulsion Liquid Membrane System, *Journal of Colloids Surf*, A296 : 149-153
- JCPDSCard File No. 9-432 (Hydroxyapatite), 1996, *Joint Comittee on Powder Diffractions Standarts*. Swathmore, PA.
- Kasem, M.A., Gonzalez, J.J., Russo, R.E., and Harith, M.A., 2013, LIBS Analysis of Artificial Calcified Tissues Matrices. *Science Journal*. 108 : 53-58
- Koutsopoulos, S., 2002, Synthesis and Characterization Of Hydroxyapatite Crystals; A Review Study On Analytical Methods. *J. Biomed. Mater. Res*, 62 (4) : 600-612
- Kumar, P., Jasra, R.V., and Bhat, T.S.G., 1995, Evolution of Porosity and Surface Acidity in Montmorilonit Clay on Acid Activation, *J. Ind. Eng. Chem. Res.*, 34 (4) : 298-307
- Kusrini, E. and Sontang, M., 2012, Characterization of X-Ray Diffraction and Electron Spin Resonance: Effects of Sintering Time and Temperature on Bovine Hydroxyapatite. *Journal of Rad. Physical and Chem*, 81 : 118-125

Ekstraksi dan Karakterisasi Hidroksiapatit dari Limbah Kerajinan Tulang Sapi
Menggunakan Metode Kombinasi Alkali Hidrotermal dengan Dekomposisi Termal
(I Gede Andy Andika Parahita, I Nengah Simpen, dan Ni Gusti Ayu Made Dwi Adhi Suastuti)

- Laghzizil, A., El Herch, N., Bouhaouss, A., Lorente, G., and Macquete, J., 2001, Comparison of Electrical Properties between Fluoroapatite and Hydroxyapatite Materials, *Journal of Solid State Chemistry*, 156 : 57-60
- Liu, J., Li, K., Wang, H., Zhu, M. and Yan, H., 2004, Rapid Formation of Hydroxyapatite Nanostructures by Microwave Irradiation, *Journal of Chem. Phys. Lett.*, 396 : 429-432
- Lowell, S. and Shields, J.E., 1984, *Powder Surface Area and Porosity, Powder Technology Series*, 2nd, Chapman and Hall, New York.
- Ooi,C.Y., Hamdi, M. and Ramesh, S. 2007, Properties Of Hydroxyapatite Produced By Annealing Of Bovine Bone. *Ceramics International*. 33 : 1171-1177
- Pang, Y.X. and Bao, X., 2003, Influence of temperature, ripening time and calcination on the morphology and crystallinity of hydroxyapatite nanoparticle. *J. Eur. Ceram. Soc.*, 23 : 1697-1704
- Parhia, P., Ramanan, A., and Ray, A.R., 2004, A Convenient Route for the Synthesis of Hydroxyapatite Through A Novel Microwave-Mediated Metathesis Reaction, *Mater. Lett.*, 58 : 3610-3612
- Samuel, L., Turek, M.D., Lippincott, J.B., 1985, *Orthopaedics : Principles and Applications*, 2nd ed, Pitman Medical Publishing Co. Ltd., London 113, 136
- Sarig, S. and Kahana, F., 2002, Rapid Formation of Nanocrystalline Apatite, *Journal of Crystal. Growth* 37 : 55-59
- Shaltout, Abdallah A., Allam, Moussa A., Moharrama, and Mohamed, A., 2011, FTIR Spectroscopic, Thermal and XRD Characterization of Hydroxyapatite from New Natural Sources, *Journal of Spectrochimica Acta*, 83 : 57-58
- Shih, W.J., Chen, Y.F., Wang, M.C. and Hon, M.H., 2004, Crystal Growth and Morphology of the Nano-Sized Hydroxyapatite Powders Synthesized from CaHPO₄.2H₂O and CaCO₃ by Hydrolysis Method. *Journal of Crystal. Growth* 270 : 21-218
- Sobczak, A., Kowalski, Z. and Wzorek, Z., 2009, Preparation of Hydroxyapatite from Animal Bones, *Acta of Bioengineering and Biomechanics*, 11 : 4
- Venkateswarlu, K., Chandra Bose, A. and Rameshbabu, N., 2010. X-ray peak broadening studies of nanocrystalline hydroxyapatite by Williamson-Hall analysis. *Physica B*, 405 (20) : 4256-4261
- Wahl D. A. and Czernuszka J T., 2006, Collagen-hydroxyapatite composites for hard tissue repair. *Journal of European Cells and Materials*, 11 : 43-56
- Xu, J.L., Khor, K.A., Dong, Z.L., Gu, Y.W., Kumar, R., and Cheang, P., 2004, Preparation and Characterization of Nano-sized Hydroxyapatite Powders Produced in A Radio Frequency (rf) Thermal Plasma, *Mater. Sci. Eng. A* 374 : 101-108